

4. COMPRESOARE

4.1. Definiții. Clasificare

Compressoarele sînt mașini de forță generatoare care cresc presiunea debitului de gaze pe care îl vehiculează.

După principiul de funcționare se disting:

- compresoare volumice, care realizează comprimarea prin micșorarea unui volum de gaz închis în spațiul de lucru al mașinii;
- compresoare dinamice, care realizează comprimarea într-un proces cu curgere continuă a gazului, prin mărirea energiei cinetice și, parțial, și a energiei potențiale de presiune într-un rotor cu palete, proces urmat de transformarea energiei cinetice în energie de presiune prin frînarea curgerii;
- compresoare cu jet, care realizează comprimarea prin amestecarea curentului de fluid de joasă presiune cu un curent de înaltă presiune, rezultatul fiind un curent de presiune medie.

Exemple. Din prima grupă fac parte compresoarele cu piston, din a doua - cele centrifuge și cele axiale, iar din ultima - ejectoarele.

Compressoarele volumice realizează presiuni pînă la 1000 bar, dau au debite relativ mici, sub 500 m³/min. Compressoarele dinamice furnizează presiuni pînă la 25 bar la debite foarte mari. Compressoarele centrifuge realizează debite de pînă la 2500 m³/min, iar cele axiale debite ce pot depăși 10000 m³/min.

Suflantele sînt compresoare dinamice destinate unor presiuni mai mici de 4 bar. Nu au răcire intermediară a gazului. Ventilatoarele sînt compresoare dinamice cu o treaptă. Ele realizează creșteri de presiune mici (< 1,1 bar) și vehiculează debite foarte mari. Exhaustoarele sînt suflante sau ventilatoare care vehiculează gaze prin crearea unei depresiuni în canalele de gaze. Pompele de vid sînt compresoare destinate realizării unei depresiuni (vid) în incinte închise.

Fiind mașini generatoare, compresoarele trebuie să fie antrenate de un motor (electric, cu ardere internă, turbină cu gaze), prin cuplare directă sau printr-o transmisie mecanică, motorul furnizînd energia mecanică necesară funcționării.

4.2. Compressoare volumice

4.2.1. Compressoare cu piston cu mișcare de translație a pistonului

4.2.1.1. Schema constructivă a compresorului cu mișcare de translație a pistonului

Un compresor monocilindru (fig. 4.1) are ca parte principală un cilindru 1 prevăzut cu un sistem de răcire cu aer (cu aripioare de răcire) sau cu apă (cu cămașă de apă). În cilindru se montează pistonul 2, care este etanșat față de cilindru cu segmentii 3. Cilindrul se termină cu carterul 4 (o cutie care închide mecanismul de antrenare), iar la cealaltă extremitate cu

chiulasa 5 (un capac care închide camera de comprimare din cilindru). În chiulasă se află supapa de admisiune 6 și supapa de refulare 7. Supapele 6 și 7 realizează comunicarea dintre cilindru și galeriile de admisiune 8 și de refulare 9. Pistonul 2 este acționat de un mecanism bielă-manivelă, din care pe fig. 5.1 sînt vizibile biela 10 și manivela 11 a arborelui cotit.

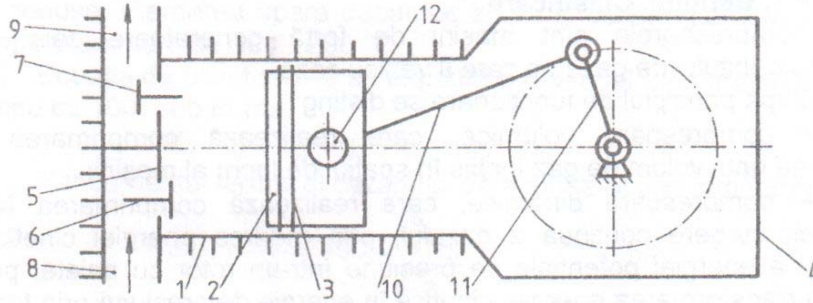


Fig. 4.1. Schema constructivă a unui compresor cu piston:
1 - cilindru; 2 - piston; 3 - segmenti; 4 - carter; 5 - chiulasă; 6 și 7 - supape de aspirație și respectiv, de refulare; 8 și 9 - galerii de admisiune și, respectiv, de refulare; 10 - biela; 11 - manivela arborelui cotit; 12 - bolț

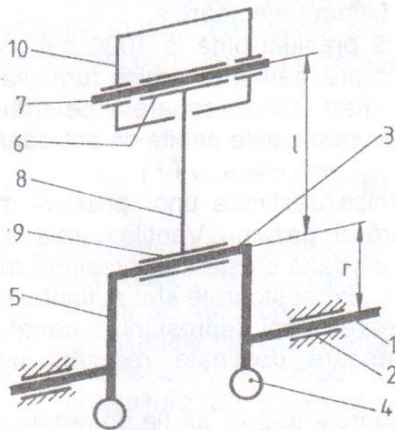


Fig. 4.2. Schema mecanismului de antrenare a pistonului:
1 - fusuri de palier; 2 - lagăre de palier; 3 - fus maneton; 4 - contragreutăți; 5 - brațele manivelei; 6 - piciorul bielei; 7 - bolț; 8 - corpul bielei; 9 - capul bielei; 10 - piston

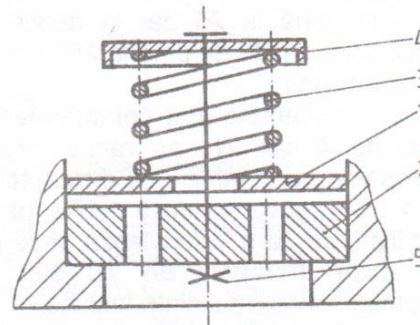


Fig. 4.3. Schema unei supape de compresor:
1 - supapa (lama); 2 - scaun; 3 - arc; 4 - taler; 5 - șurub

În compunerea mecanismului de antrenare a pistonului se află un crot de arbore, biela, bolțul și pistonul. Un crot al arborelui (fig. 4.2) este constituit din două fusuri de palier 1, care reprezintă porțiuni cilindrice de arbore aflate pe axa de rotație și plasate în lagărele paliere 2 (care aparțin părților fixe ale compresorului), dintr-un fus maneton 3, care este o porțiune

cilindrică de arbore cu axa paralelă cu axa de rotație și care servește pentru articularea bielei, și din brațele manivelei 5, brațe care au lungimea între axe egală cu raza r a mecanismului. Părțile componente ale bielei sînt piciorul bielei 6 (care se articulează cu bolțul 7), tija bielei 8 (sau corpul bielei - cu lungimea între axe l) și capul bielei 9, cu care lagărul maneton se articulează pe fusul maneton 3, operațiune posibilă datorită secționării capului bielei și fixării capacului cu șuruburi, după montarea pe maneton.

Supapele unui compresor cu piston sînt supape automate, adică se deschid și se închid sub acțiunea forțelor de presiune ce acționează pe fețele lor dinspre gazele din cilindru și, respectiv, din galeriile de admisiune sau refulare.

O supapă de compresor cu piston (fig. 4.3) este compusă din supapa propriu-zisă (sau lama), 1 care controlează (închide sau deschide) orificiile din scaunul supapei 2. Poziția închisă a supapei este menținută de arcul 3 (elicoidal - de torsiune, ca în desen, sau lamelar - de încovoiere). Arcul este ținut de talerul 4. Piesele supapei sînt asamblate printr-un șurub 5. Montată în compresor cu arcul spre cilindru, supapa servește la admisiunea gazului. Montată cu arcul spre galerie, supapa este de refulare.

Compresoarele cu piston mici se construiesc cu unul sau cu mai mulți cilindri verticali în linie, sau cu cilindri în V, iar compresoarele industriale mari se construiesc cu mai mulți cilindri orizontali.

4.2.1.2. Compresorul teoretic. Ciclul termodinamic

Se numește compresor teoretic un compresor cu piston ideal, care îndeplinește următoarele ipoteze:

- între pistonul aflat în punctul mort interior (p.m.i.) și chiulasă nu există spațiu ocupat de gaz, adică volumul vătămător este nul;
- supapele se deschid și se închid instantaneu;
- supapele nu opun rezistență la curgerea gazului.

În concordanță cu ipotezele acceptate, admisiunea gazului în cilindru se face pe durata cursei pistonului de la punctul mort interior (p.m.i.) pînă la punctul mort exterior (p.m.e.), la presiunea constantă p_1 din galeria de admisiune, după procesul izobar 4-1 (fig. 4.4).

Comprimarea se face pe durata unei părți din cursa pistonului de la punctul mort exterior către punctul mort interior, procesul 1-2 fiind adiabatic, izotermic sau politropic, în concordanță cu ipotezele suplimentare care se acceptă.

Refularea gazului din cilindru se desfășoară pe fracțiunea din cursa

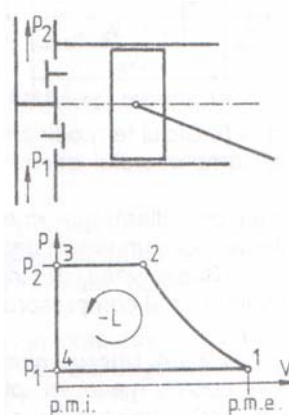


Fig. 4.4. Ciclul compresorului teoretic

pistonului între punctul mort exterior și punctul mort interior neutilizată de procesul de comprimare, procesul 2-3 fiind izobar, la presiunea constantă p_2 din galeria de refulare.

Ciclu se încheie printr-un proces izocor 3-4 convențional, care corespunde închiderii instantanee a supapei de refulare și deschiderii instantanee a supapei de admisiune, adică corespunde trecerii cilindrului de la legătura cu conducta de refulare la legătura cu cea de admisiune.

Așadar, compresorul teoretic funcționează ciclic, repetând mereu secvențele 1-2-3-4-1, care reprezintă ciclul termodinamic al mașinii compresor teoretic (fig. 4.4).

Raportul presiunilor

$$\pi = p_2 / p_1 \quad (4.1)$$

se numește raport de creștere a presiunii în compresor.

4.2.1.3. Compresorul tehnic. Ciclul termodinamic

Construcții de ordin constructiv, între care construcția supapelor și amplasarea lor în chiulasă, impun compresorului real să funcționeze cu un

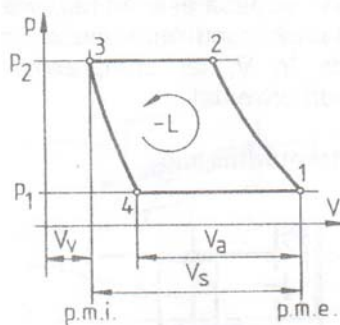


Fig. 4.5. Ciclul termodinamic al compresorului tehnic

spațiu (volum) vătămător. În acest fel se definește compresorul tehnic, mașină care înlătură ipotezele compresorului teoretic. Existența volumului vătămător V_v dintre chiulasă și pistonul aflat în punctul mort interior face ca ciclul termodinamic al compresorului tehnic să aibă, între presiunile p_2 și p_1 , pe o fracțiune din cursa de admisiune a pistonului, un proces 3-4 de destindere a gazului reținut în spațiul vătămător după terminarea procesului de refulare. În acest fel, în comparație cu un compresor teoretic avînd aceleași dimensiuni

geometrice (diametru, cursă), compresorul tehnic aspiră, comprimă și refulază ciclic un volum de gaz mai mic ($V_a < V_s$).

Succesiunea de transformări 1-2-3-4-1 (fig. 4.5) reprezintă ciclul termodinamic al compresorului tehnic.

4.2.1.4. Lucrul mecanic necesar comprimării unui gaz

Lucrul mecanic total L necesar realizării ciclului compresorului teoretic este suma lucrurilor mecanice ale fazelor funcționale:

$$L = L_{12} + L_{23} + L_{34} + L_{41} \quad (4.2)$$

Considerînd comprimarea 1-2 oarecare, fără precizări particularizatoare, lucrul mecanic necesar este:

$$L_{12} = \int_1^2 p dV \quad (4.3)$$

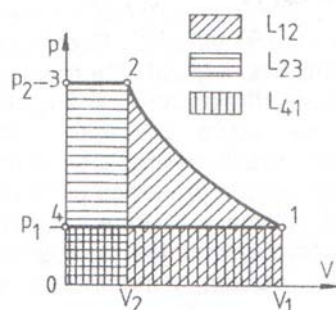


Fig. 4.6. Lucrul mecanic necesar proceselor compresorului teoretic

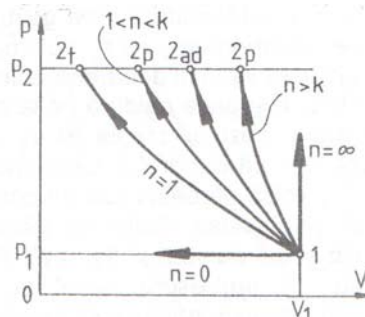


Fig. 4.7. Procese de comprimare

Procesele izobare de admisiune și de refulare necesită:

$$L_{41} = \int_4^1 p dV = p_1(V_1 - V_4) = p_1 V_1; \quad (4.4)$$

$$L_{23} = -p_2 V_2. \quad (4.5)$$

În procesul izocor 3-4 nu se schimbă lucrul mecanic:

$$L_{34} = 0. \quad (4.6)$$

Însumînd relațiile (4.3), (4.4) și (4.5) și efectuînd următoarea transformare matematică simplă:

$$\int_1^2 p dV = \int_1^2 d(pV) - \int_1^2 V dp = (p_2 V_2 - p_1 V_1) - \int_1^2 V dp,$$

se obține lucrul mecanic necesar unui ciclu de compresor teoretic:

$$L = - \int_1^2 V dp, \quad (4.7)$$

care corespunde în diagrama p-V (fig. 4.6) ariei 1-2-3-4-1.

Relația (4.2) se poate particulariza în concordanță cu ipotezele ce se impun procesului de comprimare 1-2 (fig. 4.7), care poate fi adiabatic, izotermic sau politropic.

Procesul de comprimare efectuat într-un timp foarte scurt într-un cilindru perfect izolat termic (deci cu schimb de căldură neglijabil între gaz și mediul exterior) este considerat adiabatic - linia 1-2_{ad} pe fig. 4.7.

Procesul de comprimare realizat într-un compresor introdus într-un termostat ideal (care preia instantaneu căldura menținînd temperatura gazului constantă) este considerat izotermic (se desfășoară la $T_1 = \text{const.}$) - linia 1-2_i pe fig. 4.7. Pe diagrama p-V din fig. 4.7 se observă că lucrul mecanic necesar comprimării izoterme este minim (ceea ce se confirmă imediat prin calcul). În practică, apropierea de această situație avantajoasă se face prin răcirea mașinii compresor (cu aer sau cu apă).

Deoarece viteza de deplasare a pistonului este finită și deoarece

există schimb de căldură între gazul din cilindru și mediul exterior, procesul real de comprimare este politropic cu exponent variabil. Exponentul politropic este variabil deoarece la începutul comprimării gazul este mai rece decât cilindru și preia căldură de la acesta, iar spre sfârșitul comprimării, când temperatura gazului crește și o depășește pe cea a cilindrului, gazul cedează căldură cilindrului. Calculînd un exponent mediu politropic se obține $1 < n < k$, adică procesul real de comprimare într-un compresor cu piston cu cilindru și chiulasa răcite se plasează pe diagrama p-V între procesul izotermic și cel adiabetic (fig. 4.7). Pe compresoarele dinamice nerăcite (de exemplu - compresorul axial cu mai multe trepte) comprimarea se desfășoară cu exponentul politropic $n > k$.

Introducînd în relația (4.2) lucrul mecanic de comprimare politropică dat de relația (2.120), se obține expresia finală a lucrului mecanic necesar unui ciclu de compresor teoretic:

$$L = p_1 V_1 - p_2 V_2 + \frac{1}{n-1}(p_1 V_1 - p_2 V_2) = \frac{n}{n-1}(p_1 V_1 - p_2 V_2) =$$

$$= \frac{n}{n-1} p_1 V_1 \left[1 - \left(\frac{p_2}{p_1} \right)^{(n-1)/n} \right] = nL_{12}, \quad (4.8.)$$

care arată că lucrul mecanic necesar unui ciclu este de n ori mai mare ca lucrul mecanic necesar numai procesului de comprimare politropică.

Pentru un compresor tehnic, în ipoteza că procesele de comprimare politropică și de destindere politropică se desfășoară cu exponenți apropiați $n_1 \approx n_2 = n$, lucrul mecanic se determină, pe fig. 4.5, ca o diferență de arii:

$$L = A_{1234} = A_{12ab} - A_{43ab} =$$

$$= \frac{n}{n-1} p_1 V_1 \left(1 - \pi^{(n-1)/n} \right) - \frac{n}{n-1} p_1 V_4 \left(1 - \pi^{(n-1)/n} \right) = \quad (4.9)$$

$$= \frac{n}{n-1} p_1 (V_1 - V_4) \left(1 - \pi^{(n-1)/n} \right).$$

Ultima relație arată că și din punct de vedere al lucrului mecanic necesar pentru un ciclu de comprimare compresorul tehnic se comportă ca un compresor teoretic cu cilindree redusă ($V_1 - V_4$).

4.2.1.5. Diagrama indicată a compresorului cu piston

Dacă se înlătură și ultimele două ipoteze de la compresorul teoretic, (cele referitoare la supape) și se ține seama că la trecerea prin supape (care nu se deschid instantaneu) gazul suportă procese de laminare, atunci funcționarea compresorului se desfășoară conform diagramei din fig. 4.8.

Influența laminării gazului în timpul aspirației se manifestă prin pierderi gazodinamice, care fac ca presiunea medie din cilindru în timpul aspirației p_a să fie mai mică decât presiunea p_1 din galeria de admisiune, diferența de presiune fiind $\Delta p_1 = p_1 - p_a$.

În timpul refulării, pentru acoperirea pierderilor gazodinamice din supapă, presiunea medie din cilindru p_r trebuie să fie mai mare decât presiunea p_2 din galeria de refulare, diferența fiind $\Delta p_2 = p_r - p_2$.

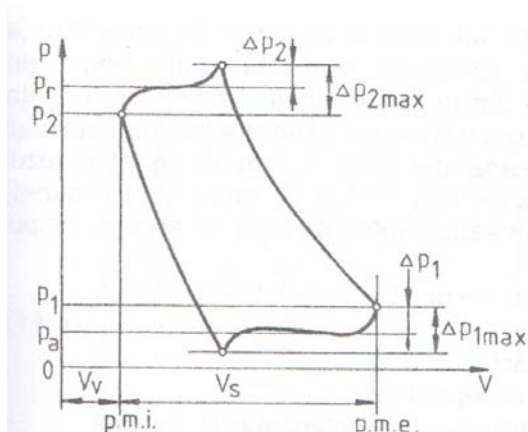


Fig. 4.8. Diagrama indicată a compresorului cu piston

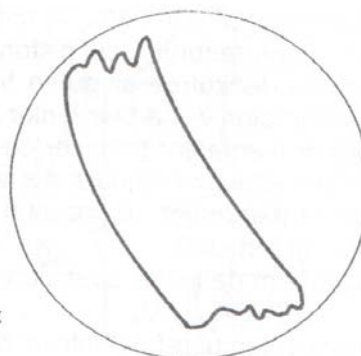


Fig. 4.9. Diagramă indicată obținută experimental

La începutul admisiunii și la începutul refulării, când supapele încă nu sînt complet deschise, diferențele de presiune au valorile maxime Δp_{1max} și Δp_{2max} .

Diagrama din fig. 4.8 poartă numele de diagramă indicată a compresorului cu piston și se obține experimental, pe mașina în funcțiune, cu o instalație numită indicator de diagramă [4.3, p.129...160]. Pe diagramele indicate experimentale se observă mici variații oscilatorii ale presiunii în timpul admisiunii și refulării (ca pe fig. 4.9), variații care se datoresc mișcărilor vibratorii ale lamelelor supapelor deschise.

4.2.1.6. Parametrii compresorului cu piston. Debitul

Principalele caracteristici tehnico-funcționale ale unui compresor cu piston sînt presiunea de refulare și debitul.

Presiunea de refulare este egală cu presiunea la care compresorul funcționează în condiții optime. Presiunea maximă de refulare se indică pentru funcționarea în regim continuu sau intermitent.

Debitul compresorului reprezintă cantitatea de gaz refulată, în regim normal de funcționare, în unitatea de timp. Se disting debitul masic (în kg/s), debitul volumic redus la starea normală (Nm^3/s), debitul volumic exprimat în funcție de condițiile de la aspirație și debitul volumic exprimat în funcție de condițiile de presiune și temperatură de la refulare.

Debitul compresorului raportat la starea gazului la aspirație se exprimă în funcție de dimensiunile cilindrului și de turație:

$$\dot{V} = \lambda V_S \frac{n}{60} = \lambda \frac{\pi D^2}{4} S \frac{\omega}{2\pi}, \quad (4.10)$$

în care D și S sînt diametrul cilindrului și cursa pistonului, $V_S = \pi D^2 S / 4$ este cilindreea mașinii (volumul corespunzător cursei totale a pistonului), n și ω sînt turația și, respectiv, viteza unghiulară a arborelui, iar λ este coeficientul de debit (sau gradul de utilizare a cilindrului).

Coeficientul de debit λ este un criteriu principal de apreciere a funcționării compresorului cu piston. Criteriul λ compară debitul refulat de compresor cu debitul ce ar putea fi dat în condiții ideale, adică în absența spațiului vătămător V_v , a pierderilor gazodinamice (datorate laminării gazului în supape), a pierderilor termice (ce apar deoarece în timpul aspirației gazul se încălzește, preluând căldură de la metalul cald al cilindrului și al supapei) și în absența pierderilor de gaz prin neetanșeități (pierderi ce apar în timpul comprimării și refulării).

Conform definiției, coeficientul de debit este dat de raportul:

$$\lambda = V_r / V_S, \quad (4.11)$$

unde V_r este volumul refulat într-un ciclu.

Valorile coeficientului de debit depind de:

- dimensiunile spațiului vătămător, caracterizat prin raportul:

$$\varepsilon = \frac{V_v}{V_S} 100, \quad (4.12)$$

cu valori între 1...8%;

- raportul de creștere a presiunii

$$\pi = p_2 / p_1; \quad (4.1.)$$

- mărimea pierderilor enumerate cu două aliniate mai sus.

Valorile numerice ale coeficientului de debit se determină experimental, și orientativ se încadrează între 0,99...0,40, valori care se micșorează cu creșterea coeficienților ε și π .

4.2.1.7. Funcționarea compresorului cu piston cu $\pi = \text{var}$

În practică, un compresor cu piston lucrează cu presiuni de refulare variabile, în concordanță cu cerințele utilizatorului de gaz comprimat, adică lucrează cu raportul π variabil.

Pe diagrama p-V din fig. 4.10 se observă că pe măsura creșterii raportului π scade volumul de gaz aspirat (altfel spus scade coeficientul de debit). La limită ($p_2 = p_{2\text{max}}$) compresorul nu mai aspiră și nu mai debitează.

În concluzie, existența volumului vătămător limitează presiunea maximă ce poate fi furnizată de un compresor.

4.2.1.8. Compresoare cu mai multe trepte

În subcapitolul precedent s-a arătat că o singură treaptă de comprimare poate debita o presiune maximă limitată. Pentru a obține presiuni mai înalte, dar și pentru a face o economie de lucru mecanic, pentru comprimare - așa cum se va arăta în continuare - se folosesc compresoare cu mai multe trepte și cu răcire intermediară. Răcirea intermediară apropie procesul real de comprimare în treaptă de un proces de comprimare izotermic.

După prima treaptă de compresor gazul străbate un schimbător de căldură (răcitor intermediar - fig. 4.11) în care își micșorează temperatura și volumul masic și apoi intră în treapta a doua, al cărei cilindru are diametru mai mic decât prima (datorită volumului masic mai mic al gazului pe care îl aspiră și comprimă).

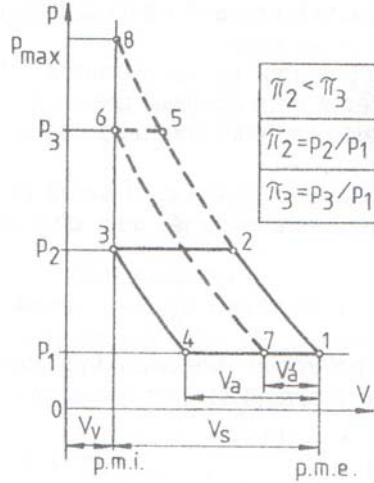


Fig. 4.10. Funcționarea compresorului cu piston la diferite presiuni de refulare

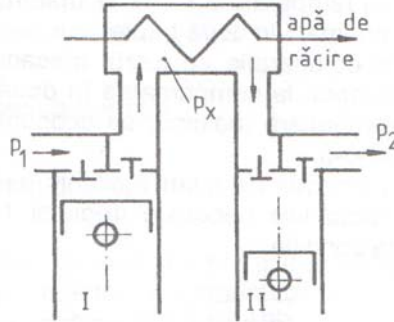


Fig. 4.11. Schema unui compresor cu piston cu 2 trepte: I și II - trepte de comprimare

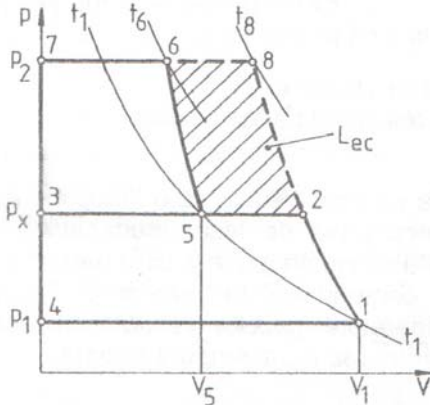


Fig. 4.12. Diagrama p-V a compresorului cu două trepte

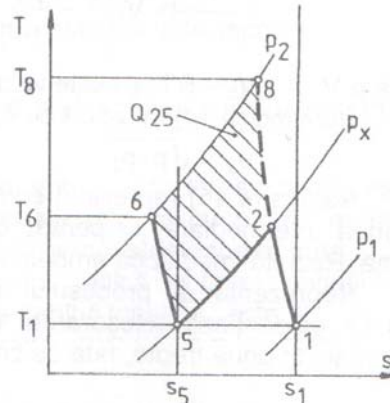


Fig. 4.13. Diagrama T-s a comprimării în două trepte

Funcționarea compresorului cu două trepte este prezentată în diagrama p-V din fig. 4.12 pentru un compresor teoretic, concluziile fiind valabile și pentru compresorul tehnic.

În prima treaptă se desfășoară ciclul 1-2-3-4, cu comprimarea politropică 1-2 de la presiunea de aspirație p_1 până la presiunea intermediară p_x . Răcirea intermediară, cu cedarea căldurii către mediul exterior (aer sau apă), se poate face pînă la cel mult temperatura T_1 a mediului din care s-a făcut aspirația, astfel că sfîrșitul admisiunii în treapta a doua de comprimare este starea 5 (intersecția izotermei T_1 cu izobara p_x). În treapta a doua se efectuează ciclul 5-6-7-3, cu comprimarea politropică 5-6. Dacă comprimarea s-ar efectua într-o singură treaptă, ciclul termodinamic ar fi

1-8-7-4, cu temperatura finală T_8 mai mare decât temperatura T_6 obținută în cazul comprimării în două trepte.

În comparație cu lucrul mecanic consumat la comprimarea într-o singură treaptă, la comprimarea în două trepte între aceleași presiuni și cu răcire intermediară maximă, se economisește un lucru mecanic echivalent cu aria 2-8-6-5.

Economia de lucru mecanic este maximă atunci când suma dintre lucrurile mecanice necesare treptelor I și II este minimă, deci când este îndeplinită condiția:

$$\frac{dL}{dp_x} = 0. \quad (4.13)$$

Acceptînd ipoteza că exponenții politropici din cele două trepte îndeplinesc relația $n_1 = n_2 = n$ și utilizînd relația (4.8), lucrul mecanic de comprimare este

$$\begin{aligned} L &= \frac{n}{n-1} p_1 V_1 \left[1 - \left(\frac{p_x}{p_1} \right)^{(n-1)/n} \right] + \frac{n}{n-1} p_x V_5 \left[1 - \left(\frac{p_2}{p_x} \right)^{(n-1)/n} \right] = \\ &= \frac{n}{n-1} p_1 V_1 \left[2 - \left(\frac{p_x}{p_1} \right)^{(n-1)/n} - \left(\frac{p_2}{p_x} \right)^{(n-1)/n} \right], \end{aligned} \quad (4.14)$$

în care $p_1 V_1 = p_x V_5 = RT_1$ (relație valabilă pe izoterma T_1).

Derivînd (5.14) în raport cu p_x și anulînd derivata rezultă

$$p_x = \sqrt{p_1 p_2}. \quad (4.15)$$

Relația (4.15) reprezintă condiția pe care trebuie să o îndeplinească presiunea intermediară p_x pentru ca economia de lucru mecanic să fie maximă. Rezultă imediat că ambele trepte consumă același lucru mecanic.

Reprezentarea procesului de comprimare în diagrama T-s pe fig. 4.13 evidențiază micșorarea temperaturii gazelor refulate în cazul comprimării în două trepte, față de comprimarea într-o singură treaptă.

4.2.1.9. Randamente. Puterea consumată de compresorul cu piston

Lucrul mecanic masic l_i (raportat la 1 kg de gaz) consumat în interiorul cilindrului compresorului real este mai mare decât lucrul mecanic l necesar teoretic, diferența fiind folosită pentru învingerea pierderilor gazodinamice, a celor datorate presiunii mai mici și temperaturii mai mari de la aspirație, a celor datorate volumului vătămător și a celor prin neetanșeități. Ca urmare, se definesc mai multe tipuri de randamente, prezentate în continuare.

- Randamentul intern al compresorului este definit prin raportul:

$$\eta_i = l/l_i, \quad (4.16)$$

care reprezintă o caracteristică a calității proceselor din compresor.

Randamentul intern se particularizează pentru o comprimare

adiabatică și pentru o comprimare izotermică, distingându-se:

- randamentul intern adiabatic
$$\eta_{ad} = l_{ad} / l_i ; \quad (4.17)$$

- randamentul intern izotermic:
$$\eta_{iz} = l_{iz} / l_i ; \quad (4.18)$$

- randamentul intern politropic:
$$\eta_n = l_n / l_i . \quad (4.19)$$

Determinarea lucrului mecanic consumat l_i se face prin prelucrarea diagramei indicate determinate experimental pe compresor [4.3], iar lucrul mecanic masic l necesar teoretic (și, în cazurile particulare, l_{ad} , l_{iz} sau l_n) se calculează cu relația:

$$|l| = \int_1^2 v dp , \quad (4.7)$$

Lucrul mecanic masic efectiv l_e necesar la arborele compresorului este mai mare ca l_i cu cantitatea necesară învingerii pierderilor mecanice (adică a frecărilor pistonului cu cilindrul, a frecărilor din lagăre etc.). Cu aceste precizări se definesc:

- randamentul mecanic al compresorului, prin raportul:
$$\eta_m = l_i / l_e ; \quad (4.20)$$

- randamentul efectiv sau total al compresorului, prin raportul:
$$\eta_e = l / l_e = \eta_i \eta_m . \quad (4.21)$$

Valorile orientative ale randamentului efectiv se încadrează în intervalul (0,80...0,85) pentru compresoare mici și cu turație mare și în intervalul (0,90...0,93) pentru compresoarele industriale foarte mari.

Puterea internă a compresorului, adică puterea consumată în interiorul cilindrului compresorului real la debitul masic q_m este:

$$P_i = l_i q_m = l q_m / \eta_i , \quad (4.22)$$

iar pentru comprimarea politropică este:

$$P_{in} = l_n q_m / \eta_n . \quad (4.23)$$

Puterea necesară la arborele compresorului (putere pe care trebuie să o asigure motorul de antrenare) este:

$$P = P_{in} / \eta_m . \quad (4.24)$$

Puterea motorului de antrenare este:

$$P_{motor} = kP / \eta_{tr} , \quad (4.25)$$

în care η_{tr} este randamentul transmisiei mecanice dintre motor și compresor, iar $k = 1,1 \dots 1,2$ reprezintă un coeficient de rezervă de putere.

4.2.2. Compresorul rotativ cu lamele culisante

Un compresor rotativ cu lamele în rotor este compus (fig. 4.14) dintr-un stator cilindric 1 și dintr-un rotor cilindric 2 plasat excentric în cilindru (dezaxarea fiind notată ϵ), rotor în care sînt prelucrate șanțuri longitudinale

în care culisează lamele 3 (pe desen în număr de 4). Statorul cilindric este prevăzut cu canalele de aspirație și de refulare 4 și 5. Compresorul este prevăzut cu aripioarele de răcire 6. Lamelele 3 au aceeași lungime ca statorul cilindric și ca rotorul. Când arborele este rotit din exterior, lamelele sînt supuse acțiunii forțelor centrifuge, astfel că sînt în contact permanent cu cilindrul interior, ieșind și intrînd în canalele din rotor (culisînd). Între rotor și cilindru se formează o cameră cu secțiunea ca o semilună, împărțită de paletetele 3 și 3' în camerele notate A, B și C. Camera A joacă rol de cameră de aspirație, deoarece pe măsura învîrtirii rotorului volumul dintre două lamele consecutive crește, creîndu-se o depresiune datorită căreia este aspirat gazul (la presiune constantă, procesul 4-1). Continuînd învîrtirea rotorului, camera A se transformă într-o cameră de tip B care, după depășirea liniei verticale a centrelor rotorului și statorului, își micșorează volumul, realizînd comprimarea gazului (procesul 1-2). Apoi camera B trece într-o cameră tip C, care intră în comunicație cu conducta de refulare. Lamela ulterioară 3' pompează gazul din mașină (procesul de refulare 2-3, desfășurat la presiunea constantă p_2). Ciclul se încheie prin trecerea lamelei 3 în stînga liniei centrelor, timp în care o cantitate mică de gaz trece de la refulare spre admisiune, destinzîndu-se în procesul 3-4.

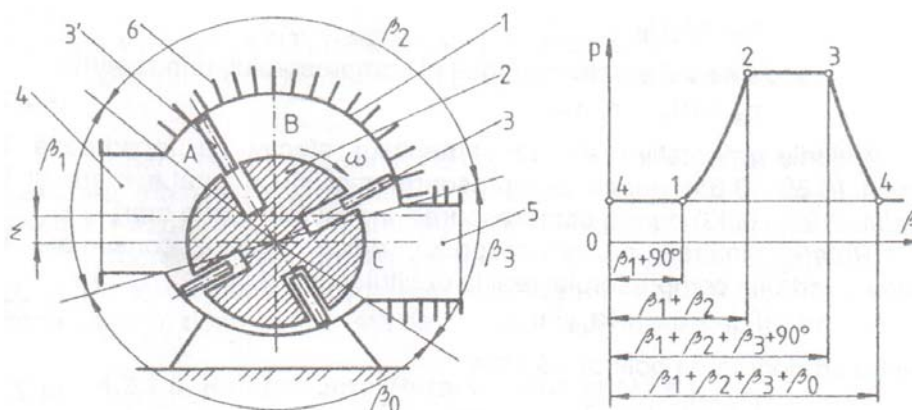


Fig. 4.14. Compresorul cu lamele culisante:

1 - stator cilindric; 2 - rotor; 3 - lamele; 4 și 5 - canale de admisiune și de refulare; 6 - aripioare de răcire

Diagrama desfășurată p-β din fig. 4.14 reprezintă, în fond, ciclul compresorului tehnic cu piston, durata fazelor fiind în corelație cu distanța unghiulară dintre palete (se construiesc compresoare cu 4...32 palete) și cu unghiurile constructive β_1 , β_2 și β_3 .

4.2.3. Compresorul rotativ cu rotoare profilate

Un compresor rotativ cu rotoare profilate (fig. 4.15) este construit din două rotoare profilate 1 și 2, fiecare cu cîte doi sau trei lobi, rotoare

introduse în statorul 3. Statorul este format din două jumătăți de cilindru de rază R și de lungime l , depărtate între ele (fig. 4.15). Antrenarea sincronă a rotoarelor se face cu un angrenaj cu roți dințate. Rotoarele nu vin în contact între ele și nici cu statorul, între piese fiind un joc mai mic de 0,2 mm.

Cînd rotoarele profilate sînt în pozițiile din fig. 4.15 formează, împreună cu statorul, camerele A, B și C, fiecare avînd rol funcțional distinct. Prin învîrtirea rotoarelor în sensurile indicate pe figură volumul camerei A crește, în cameră fiind aspirat gaz la presiunea constantă p_1 (procesul teoretic 1-2). Continuîndu-se rotirea, camera A se transformă într-o cameră de tip B, închizînd între lobi și stator, într-un volum constant, o masă de gaz pe care o transportă spre conducta de refulare - fără a-i crește presiunea. Cînd camera B se transformă într-o cameră de tip C, adică atunci cînd intră în comunicație cu canalul de refulare, se produce o comprimare (teoretic instantanee) la volum constant, datorată curgerii inverse a gazului din conducta și din rezervorul de gaz al compresorului, gaz aflat la presiunea p_2 (procesul 2-3 din diagrama p-V). În continuare, lobul rotorului superior împinge gazul din camera C pe conducta de refulare, în procesul izobar 3-4 desfășurat la presiunea p_2 .

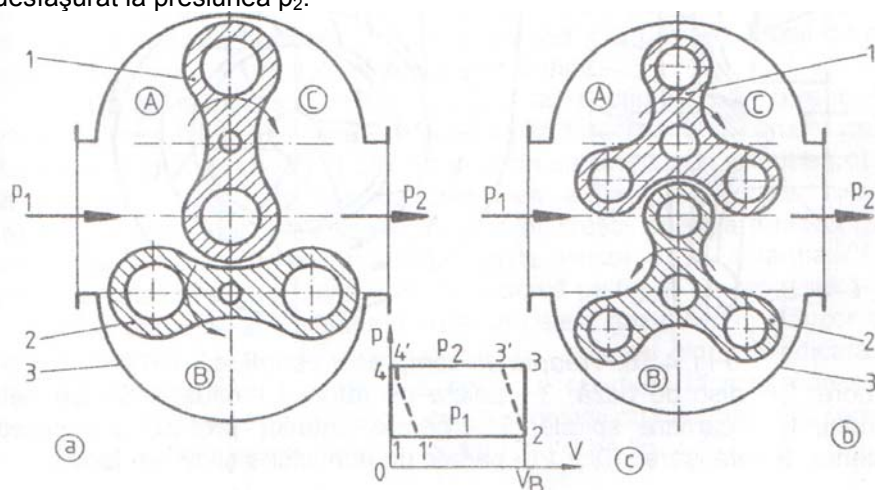


Fig. 4.15. Compressoare rotative cu rotoare profilate cu 2 lobi (a) și cu 3 lobi (b): 1 și 2 - rotoare profilate; 3 - stator

Conform schemei de funcționare prezentate mai sus, ciclul teoretic al compresorului cu rotoare profilate este 1-2-3-4, în diagrama p-V fiind un dreptunghi cu baza V_B și cu înălțimea $(p_2 - p_1)$. Procesul 4-1 corespunde trecerii camerei C într-o cameră de tip A. Procesele de comprimare 2-3 și de destindere 4-1 nu sînt riguros izocore, ceea ce conduce la ciclul teoretic 1'-2-3'-4', destinderea 4'-1' referindu-se la o mică cantitate de gaz care trece din camera C în camera A.

Compresorul cu 3 lobi pe rotor refulează mai puțin discontinuu decît compresorul cu 2 lobi pe rotor. Dacă lobi sînt răsuciți în lungul axei

longitudinale, rotoarele capătă un aspect elicoidal. Construcția elicoidală a rotoarelor contribuie atât la uniformizarea debitului, cât și la micșorarea zgomotului produs în timpul funcționării.

4.3. Compresoare dinamice

4.3.1. Compresorul centrifug

4.3.1.1. Definiție

Compresorul centrifug face parte din clasa compresoarelor dinamice. Compresorul centrifug este o mașină de forță, generatoare, care transformă energia mecanică primită de la un motor în energie potențială de presiune acumulată de gazul care traversează mașina. Comprimarea gazului se realizează în două faze: în rotor, sub acțiunea forței centrifuge, și în stator, prin frînarea parțială a curgerii gazului.

4.3.1.2. Construcția unui compresor centrifug

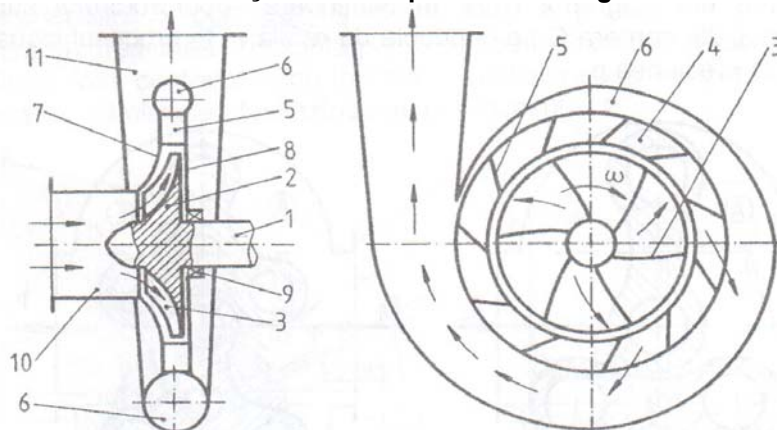


Fig. 4.16. Treaptă de compresor centrifug:

1 - arbore; 2 - disc de bază; 3 - paletă pe rotor; 4 - difuzor; 5 - paletă difuzorului; 6 - camera spirală; 7 - perete anterior profilat; 8 - perete posterior; 9 - etanșare; 10 și 11 - canale de admisiune și de refulare

O treaptă de compresor centrifug (fig. 4.16) este compusă dintr-un rotor cu paletă și dintr-un stator cu secțiune de trecere crescătoare. În construcția rotorului se disting arborele 1 pe care este amplasat discul de bază profilat 2, disc prevăzut cu paletele 3. Paletele pot fi radiale, sau pot fi curbate (îndoite) înainte sau înapoi. O paletă este curbată înainte dacă, pe măsură ce diametrul rotorului crește, paleta se îndepărtează de direcția radială în sensul de rotație ω . Statorul este compus din difuzorul 4 și din camera spirală 6, care înconjoară difuzorul. Difuzorul este un spațiu inelar în jurul rotorului, prevăzut cu paletele 5. La compresoarele mici, difuzorul nu are paletă. În construcția compresorului se mai găsesc peretele anterior 7 (profilat) și peretele posterior 8, care împreună cu difuzorul și cu camera spirală închid rotorul. Trecerea arborelui prin pereții statorului este prevăzută

cu un spațiu de etanșare 9. Bineînțeles, rotorul este susținut și se rotește în lagăre (nefigurate). Gazul intră în compresor pe gura de aspirație 10 și este refulat prin gura de refulare 11.

În practică, treptele de compresor centrifug se pot cupla câte două în paralel (cu disc, difuzor și cameră spirală comună), sau se pot înseria în lungul arborelui prin intermediul unor canale care conduc gazul de la ieșirea radială dintr-o treaptă la intrarea axială în treapta următoare.

4.3.1.3. Funcționarea compresorului centrifug

Circulația gazului prin canalele dintre paletele rotorului se face pe direcție radială, cu sensul spre exteriorul rotorului. Curgerea apare datorită faptului că, în timpul rotirii arborelui (și rotorului), asupra particulelor materiale care compun gazul acționează forțe centrifuge. Trecerea de la curgerea axială (la aspirație) la curgerea radială din canalele dintre palete se face lin, prin interacțiunea gazului cu peretele profilat al discului de bază.

Trecerea gazului prin rotor constituie faza energetică principală în funcționarea compresorului centrifug, ca - de altfel - a tuturor turbomașinilor (compresoare și pompe dinamice, turbine cu abur și cu gaze, turbine hidraulice). În rotorul mașinii are loc transmiterea energiei mecanice primite de la motorul de antrenare către fluxul de gaz. Ca urmare, fluxul de gaz se accelerează, deci energia sa cinetică se mărește.

Canalele dintre paletele rotorului au secțiuni de trecere ce cresc odată cu raza rotorului, ceea ce face ca, la trecerea prin canale, gazul să suporte transformarea unei părți din energia sa cinetică în energie potențială de presiune (Δp_s), simultan cu creșterea arătată a energiei cinetice a gazului. O primă concluzie arată că în rotor crește energia totală a gazului, prin ambele componente: cinetică (crește viteza c) și potențială (crește presiunea statică cu Δp_s), așa cum se observă pe fig. 4.17, procesul 1-2.

A doua fază funcțională este trecerea gazului prin difuzor și prin camera spirală. Gazul, ce iese din rotor cu energie cinetică ridicată, trece prin secțiuni continuu crescătoare, ceea ce conduce la micșorarea vitezei gazului (energiei cinetice) și la creșterea presiunii cu diferența Δp_d (creșterea energiei potențiale de presiune), procesul 2-3-4 pe fig. 4.17.

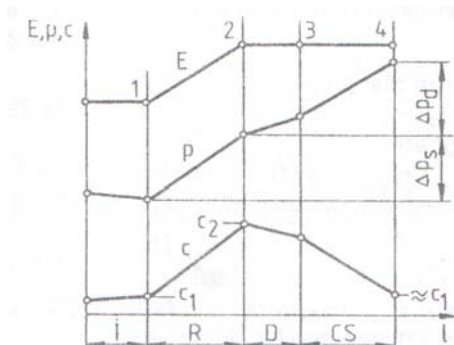


Fig. 4.17. Variația energiei totale (E), variația presiunii (p) și a vitezei absolute (c) la trecerea gazului prin compresorul centrifug: I - canal de intrare; R - rotor; D - difuzor; CS - cameră spirală

Creșterea totală de presiune rezultă prin însumarea creșterilor de presiune din rotor (Δp_s) și din stator (Δp_d), și arată că sarcina unui compresor centrifug (sau a unui ventilator centrifug) se exprimă prin creșterea totală de presiune:

$$\Delta p_T = \Delta p_s + \Delta p_d. \quad (4.26)$$

4.3.1.4. Energia preluată de gaz în rotor. Creșterea totală de presiune într-o treaptă de compresor centrifug

În fig. 4.18 este prezentată o jumătate de rotor și o paletă curbată înapoi. Se face ipoteza că vitezele gazului sînt date de valorile medii în secțiunea respectivă (eventual, viteza se consideră constantă în secțiune). La curgerea gazului pe lîngă paletă se deosebesc următoarele viteze (cu notațiile din fig. 4.18):

- viteza tangențială (periferică) a rotorului;

$$u = r \omega = r \frac{\pi n}{30}; \quad (4.27)$$

- viteza relativă w a curentului de gaz față de paletele rotorului;
- viteza absolută c , față de un observator exterior mașinii.

Între cele trei viteze există relația:

$$\vec{c} = \vec{u} + \vec{w}, \quad (4.28)$$

așa cum se vede pe fig. 4.18, indicii 1 și 2 referindu-se la intrarea și, respectiv, ieșirea din canalele rotorului. Între cei trei vectori viteză există unghiurile $\alpha = \angle(\vec{u}, \vec{c})$ și $\beta = \angle(\vec{u}, \vec{w})$.

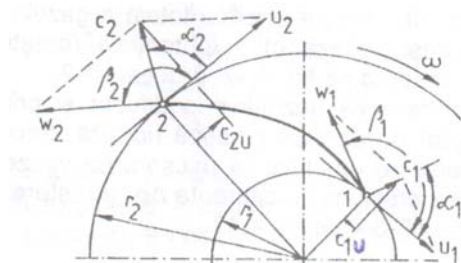


Fig. 4.18. Vitezele la intrarea și la ieșirea din rotorul centrifug

Rotorul transmite gazului puterea mecanică

$$P = M \omega, \quad (4.29)$$

în care M este momentul forțelor exterioare.

Conform legii momentului cinetic (vezi subcapitolul 2.4.11) momentul exterior M ce acționează asupra gazului este egal cu variația momentului cinetic în unitatea de timp:

$$\vec{M} = \dot{m}(\vec{r}_2 \times \vec{c}_2 - \vec{r}_1 \times \vec{c}_1) \quad (2.229)$$

Produsele vectoriale din relația precedentă se proiectează pe direcția axială (direcția vectorului moment) și relația (4.29) devine

$$P = \dot{m} (r_2 c_2 \cos(\alpha_2) - r_1 c_1 \cos(\alpha_1)) \omega = \dot{m} (u_2 c_2 \cos(\alpha_2) - u_1 c_1 \cos(\alpha_1)). \quad (4.30)$$

Din triunghiurile de viteze de pe fig. 4.18 apar imediat relațiile

$$c_1 u_1 \cos(\alpha_1) = (c_1^2 + u_1^2 - w_1^2)/2 \text{ și } c_2 u_2 \cos(\alpha_2) = (c_2^2 + u_2^2 - w_2^2)/2, \quad (4.31)$$

care se introduc în (4.30), obținându-se

$$P = \dot{m} \left(\frac{c_2^2 - c_1^2}{2} + \frac{u_2^2 - u_1^2}{2} + \frac{w_1^2 - w_2^2}{2} \right). \quad (4.32)$$

Relațiile puterii mecanice se împart la debit, obținându-se energia transmisă de rotor gazului sub formă de lucru mecanic masic:

$$l_t = \frac{P}{\dot{m}} = M\omega = r_2 c_2 \cos(\alpha_2) - r_1 c_1 \cos(\alpha_1) = \\ = \frac{c_2^2 - c_1^2}{2} + \frac{u_2^2 - u_1^2}{2} + \frac{w_1^2 - w_2^2}{2} \quad (4.33)$$

Pe de altă parte, deoarece într-o treaptă de compresor centrifug variația presiunii este relativ mică, se acceptă că volumul masic al gazului nu variază ($v = 1/\rho = \text{const.}$), deci procesul de comprimare este izocor și lucrul mecanic transmis de rotor către gaz (numeric egal și de semn contrar cu lucrul mecanic schimbat de gaz în timpul comprimării) se calculează cu:

$$l_t = - \left(- \int_1^2 v dp \right) = v(p_2 - p_1) = v \Delta p. \quad (4.34)$$

Egalînd cele două expresii ale lucrului mecanic se obține creșterea de presiune totală din rotor:

$$\Delta p = \rho(u_2 c_2 \cos(\alpha_2) - u_1 c_1 \cos(\alpha_1)) = \\ = \rho \left(\frac{c_2^2 - c_1^2}{2} + \frac{u_2^2 - u_1^2}{2} + \frac{w_1^2 - w_2^2}{2} \right). \quad (4.35)$$

În situația particulară în care gazul intră în rotor radial, $\alpha_1 = 90^\circ$ și creșterea totală de presiune este

$$\Delta p_T = \rho u_2 c_{2u}. \quad (4.36)$$

Așadar, efectul interacțiunii dintre rotor și gaz se poate exprima fie sub forma creșterii energiei gazului fie sub forma creșterii presiunii totale a gazului.

Relația care exprimă creșterea energiei gazului în rotor a fost dedusă din teorema momentului cinetic în ipoteza că în secțiuni cilindrice concentrice cu axul rotorului toți parametrii gazului sînt constanți. Această condiție poate fi îndeplinită numai într-un rotor ideal, cu un număr infinit de palete ce nu au grosime, palete ce ghidează perfect curgerea gazului. Deoarece rotoarele reale nu îndeplinesc această condiție, creșterea de presiune totală este

$$\Delta p_r = \psi \Delta p, \quad (4.37)$$

în care $\psi = 0,8 \dots 0,95$.

Considerînd că energia cinetică a gazului la intrarea în compresor este egală cu cea de la ieșire se deduce că toată energia preluată de gaz de la rotor servește numai la comprimarea gazului și se regăsește în creșterea

de presiune statică între intrarea și ieșirea din compresor (deoarece energia cinetică cu care gazul iese din rotor se transformă în energie potențială de presiune, prin frînare în difuzor și în camera spirală).

O treaptă de compresor centrifug realizează o creștere relativ mică de presiune statică, $\pi = 1,1 \dots 1,5$. În cazuri speciale, la turații foarte mari, π se poate apropia de 4.

4.3.1.5. Debitul compresorului centrifug

Debitul compresorului centrifug se poate calcula ca produs între aria suprafeței de ieșire din rotor (la diametrul d_2) și componenta radială a vitezei de ieșire a gazului.

Pentru un compresor cu număr infinit de palete cu grosime neglijabilă, debitul volumic de gaz este:

$$\dot{V}_t = \pi d_2 b_2 c_{2r} , \quad (4.38)$$

în care b_2 este lățimea rotorului la nivelul diametrului d_2 iar c_{2r} este proiecția vitezei absolute pe direcția radială. Debitul calculat cu (4.38) corespunde parametrilor gazului la ieșirea din rotor.

Debitul real este mai mic decât debitul teoretic din cauza grosimii finite a paletelor rotorului (și ele în număr finit).

Debitul ce intră în conducta de refulare este $\dot{V} < \dot{V}_t$, deoarece o parte din gaz se întoarce, prin spațiile dintre rotor și pereții laterali, în canalul de aspirație. O parte din aceste scăpări de gaze sînt recirculate. O parte din debit se pierde prin etanșarea dintre arbore și stator.

4.3.1.6. Randamente. Puterea consumată de compresorul centrifug

O treaptă de compresor centrifug cu număr finit de palete realizează o creștere de presiune Δp consumînd, pentru fiecare 1 kg de gaz, lucrul mecanic masic teoretic l (care nu consideră frecările și nici alte pierderi).

Ca urmare a devierii curentului de gaz la intrarea în rotor, a frecărilor din interiorul gazului și ale acestuia cu pereții canalelor prin care circulă, consumul de lucru mecanic masic pentru realizarea creșterii de presiune Δp este l_0 , fiind mai mare decât l .

Se definește randamentul gazodinamic al treptei (numit uneori și randament hidraulic) prin raportul

$$\eta_{gd} = l/l_0 . \quad (4.39)$$

care este o caracteristică a calității proceselor gazodinamice ale treptei.

Lucrul mecanic masic consumat într-o treaptă reală de compresor centrifug pentru creșterea cu Δp a presiunii, notat l_i , este mai mare decât lucrul mecanic l_0 , ca urmare a frecărilor gazului cu rotorul și a scăpărilor de gaz prin neetanșeitățile dintre rotor și carcasă (stator). Acest lucru mecanic consideră toate pierderile din interiorul mașinii, cu excepția pierderilor mecanice prin frecări în lagăre, fiind numit lucru mecanic intern.

Randamentul intern al treptei de compresor centrifug se definește prin raportul

$$\eta_i = l/l_i, \quad (4.40)$$

mărimă care consideră toate pierderile din treaptă.

Uneori este important să se aprecieze cât de mult se apropie procesul real din compresor nu de procesul izentropic, ci de alte procese considerate de referință: izotermic (cînd compresorul este răcit), adiabatic (nu se schimbă căldură cu mediul) sau politropic (nu există scăpări de gaz prin neetanșeități și nici frecări între discul rotorului și gaz). Ca urmare, se introduc:

- randamentul intern adiabatic:

$$\eta_{ad} = l_{ad}/l_i; \quad (4.41)$$

- randamentul intern izotermic:

$$\eta_{iz} = l_{iz}/l_i; \quad (4.42)$$

- randamentul intern politropic:

$$\eta_n = l_n/l_i, \quad (4.43)$$

relații în care l_{ad} , l_{iz} și l_n sînt lucrurile mecanice necesare comprimării adiabatic, izotermice respectiv politropice.

Lucrul mecanic masic consumat (intern) se calculează cu relația:

$$l_i = l_0 \frac{\dot{m} + \dot{m}_p}{\dot{m}} + l_f, \quad (4.44)$$

în care \dot{m} și \dot{m}_p sînt debitul masic al compresorului și, respectiv, debitul masic de pierderi prin neetanșeități, iar l_f este lucrul mecanic masic consumat pentru învingerea frecărilor dintre gaz și rotor. Mărimile \dot{m}_p și l_f trebuie determinate experimental sau cu relații empirice cunoscute din literatura de specialitate. Valori orientative ale randamentelor interne ale compresoarelor centrifuge sînt $\eta_{iz} = 0,6 \dots 0,75$; $\eta_{ad} = 0,75 \dots 0,85$; $\eta_n = 0,70 \dots 0,80$.

Puterea internă, adică consumată de un compresor cu z trepte identice este:

$$P_i = z l_i q_m = z l q_m / \eta_i. \quad (4.45)$$

Relația (4.45) se particularizează pentru procese adiabatic, izotermice și politropice, rezultînd puteri consumate cu același nume.

Puterea necesară la arborele compresorului (efectivă) este:

$$P_e = P_i / \eta_m, \quad (4.46)$$

în care η_m este randamentul mecanic, mărime care consideră pierderile prin frecările arborelui în lagăre. Valorile orientative ale randamentului mecanic η_m al compresoarelor centrifuge se încadrează între $0,97 \dots 0,99$.

4.3.1.7. Ventilatorul centrifug

Un ventilator centrifug este o mașină derivată din compresorul centrifug și are în construcția sa un rotor și un stator. Rotorul este format din arborele 1, discul 2 și capacul 3, între disc și capac fiind plasate paletetele 4. Paletetele sînt repartizate echidistant pe circumferință, putînd fi drepte sau

încălate înainte. Statorul este construit dintr-o carcasă 5 avînd secțiunea transversală în formă de spirală, fiind prevăzut cu gura de aspirație axială 6 și gura de radială de refulare 7.

Ventilatorul centrifug realizează creșteri de presiune mici, de ordinul zecilor, rar sutelor de mm col H_2O și debite ce ajung la zeci de mii de m^3/h .

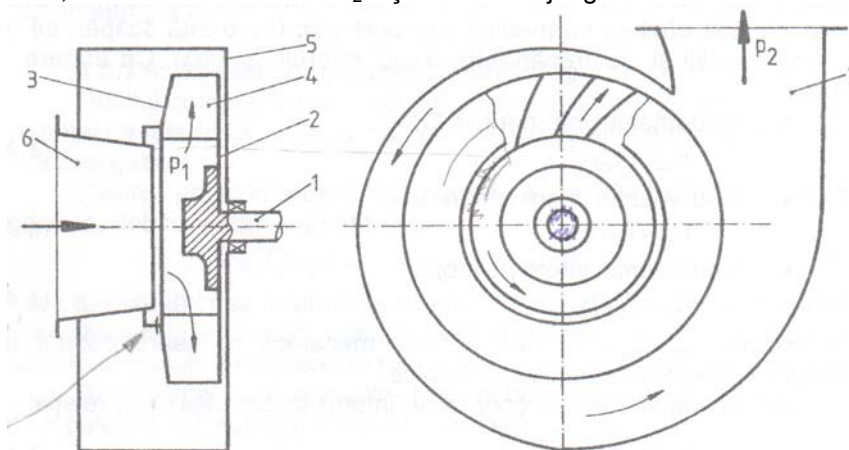


Fig. 4.19. Ventilator centrifug: 1 - arbore; 2 - disc; 3 - capac; 4 - palete; 5 - carcasă; 6 - gură de aspirație; 7 - gură de refulare

4.3.2. Compresorul axial

4.3.2.1. Construcția și funcționarea unui compresor axial

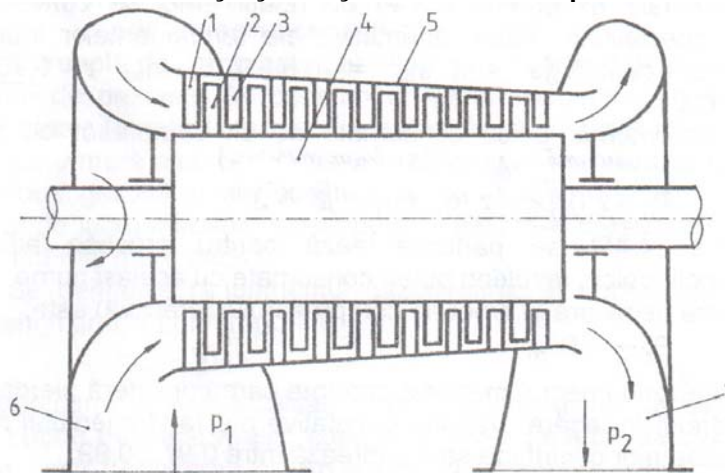


Fig. 4.20. Schema unui compresor axial:

1 - palete directoare de admisie; 2 - palete mobile; 3 - palete directoare fixe; 4 - tambur; 5 - carcasă; 6 - gură de aspirație; 7 - gură de refulare

Un compresor axial este constituit din mai multe coroane de palete mobile 2, montate fie pe obada unor discuri, fie pe un tambur 4, ca în

fig. 4.20, și din coroane de palete directoare fixe 3 (după fiecare coroană de palete mobile) fixate de carcasa 5.

Paletel directoare formează difuzorul compresorului. Deseori, înainte primei coroane de palete mobile este plasată o coroană de palete directoare de admisie 1. Ansamblul format dintr-o coroană de palete mobile și o coroană de palete directoare plasată după paletel mobile formează o treaptă de comprimare.

În continuare se prezintă funcționarea compresorului axial, în legătură și cu fig. 4.21. Gazul pătrunde în canalele formate de paletel rotorice 2 cu viteza absolută c_1 .

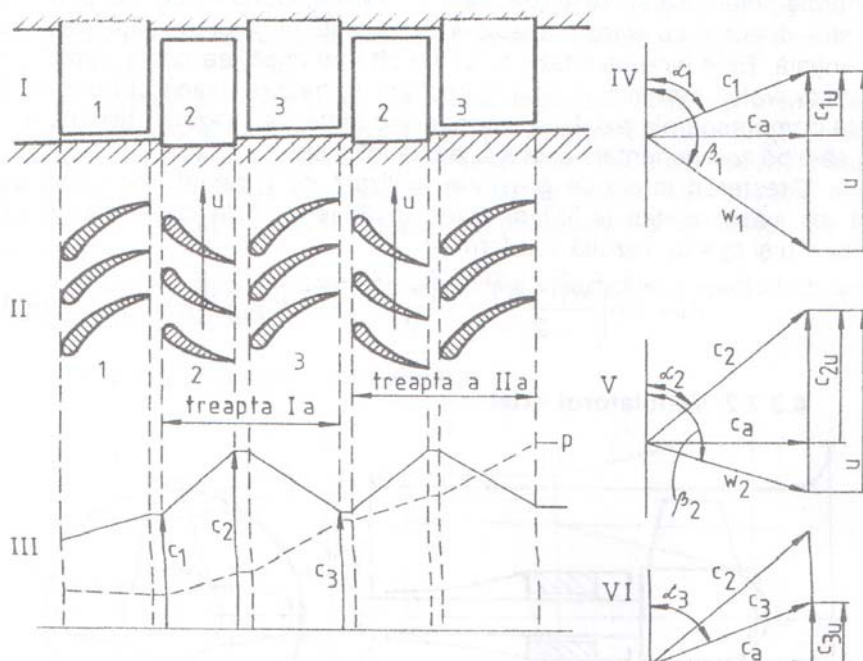


Fig. 4.21. Schema principială (I), o secțiune cilindrică desfășurată (II), diagramele presiunii și vitezei absolute (III) și triunghiurile de viteză (IV - la intrarea în canalele dintre paletel rotorului, V - la ieșirea din canalele rotorului, VI - la intrarea și ieșirea din aparatul director) ale unei trepte a unui compresor axial: 1 - palete directoare de admisie; 2 - palete mobile; 3 - palete directoare

În absența aparatului director de la aspirație (coroana de palete fixe 1), viteza c_1 are direcția axială. Când există aparatul director, la trecerea prin paletel acestuia curentul de aer este răsucit și pătrunde între paletel rotorului sub un unghi α_1 cu direcția vitezei tangențiale. În orice secțiune cilindrică prin paletel viteza tangențială la intrare, ca și la ieșirea din paletel, are aceeași valoare u . Viteza relativă w_1 a curentului de aer la intrarea în canalul dintre paletel de pe rotor și unghiul β_1 format de această viteză cu

direcția vitezei tangențiale se determină din triunghiul de viteze (IV, fig. 4.21). Curentul de gaz părăsește paletetele rotorice cu viteza relativă w_2 și sub unghiul β_2 cu direcția vitezei tangențiale. Viteza absolută c_2 la ieșirea din coroana de paletete rotorice și unghiul α_2 pe care aceasta îl face cu direcția vitezei tangențiale se determină de asemenea din triunghiul de viteze (V, fig. 4.21). Unghiurile dintre viteze sînt cele introduse în subcapitolul 4.3.1.4.

Din canalele dintre paletetele rotorice curentul de gaz pătrunde în canalele formate de paletetele directoare, unde își schimbă direcția. La trecerea prin canalele dintre paletetele directoare are loc micșorarea vitezei absolute a curentului de gaz, transformarea unei părți din energie sa cinetică în energie potențială și creșterea presiunii statice. Curentul de gaz părăsește aparatul director cu viteza absolută c_3 și sub unghiul α_3 față de viteza tangențială. Este bine ca viteza c_3 să fie cît mai mică; ea poate coborî pînă la $c_3 = c_1$, valori mai mici ducînd la secțiuni de trecere exagerat de mari. De regulă compresoarele axiale se construiesc astfel ca vitezele absolute c_1 , c_2 și c_3 să aibă componentele axiale c_a egale între ele.

Creșterea totală de presiune realizată de o treaptă de compresor axial, pe baza relației (4.35) și avînd în vedere că la compresorul axial $u_2 = u_1 = u$ și $c_3 = c_1$, rezultă sub forma:

$$\Delta p_T = \rho \left(\frac{w_1^2 - w_2^2}{2} + \frac{c_2^2 - c_1^2}{2} \right) = \rho u (c_{2u} - c_{1u}). \quad (4.47)$$

4.3.2.2. Ventilatorul axial

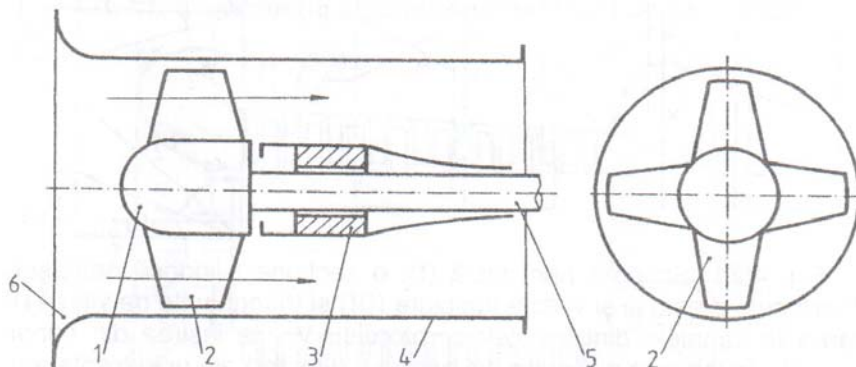


Fig. 4.22. Schema ventilatorului axial:

1 - butuc; 2 - paletete; 3 - lagăr; 4 - carcasă; 5 - arbore

Derivat din compresorul axial, un ventilator axial (fig. 4.22) este compus dintr-un rotor și dintr-o carcasă 4. Rotorul este format din arborele 5 terminat cu butucul 1 cu profil aerodinamic, butuc pe care sînt montate paletetele 2. Numărul de paletete este între 2...50, dar în mod obișnuit rotoarele ventilatoarelor axiale se construiesc cu 4...8 paletete. Rotorul se învîrtește într-o carcasă cilindrică 4, prevăzută cu un colector de aspirație 6. Datorită acțiunii paletetelor are loc deplasarea gazului și creșterea presiunii acestuia.

Unele construcții de ventilatoare axiale prevăd, în fața paletelor rotorului, o coroană de palete directe montate în carcasă, pentru a ameliora intrarea gazului în canalele dintre paletele rotorului. Alte construcții utilizează și un rând de palete fixe situate după rotor, cu rol de a împiedica turbionarea curentului de gaz care iese dintre palete. De asemenea, se pot prevedea difuzoare la ieșirea din carcasă, pentru a mări presiunea statică creată de ventilator, prin transformarea unei părți din energia cinetică.

4.4. Ejectorul (Compresorul cu jet)

4.4.1. Introducere. Definiție

Ejectoarele sînt aparate în care un curent de fluid cu presiune ridicată se amestecă cu un curent de fluid cu presiune coborîtă, rezultînd un curent de presiune medie.

În practică, ejectoarele se folosesc pentru ridicarea presiunii unui fluid cu presiune joasă, de unde și încadrarea lor lîngă mașinile compresoare. Prin ejectoare pot circula simultan fluide de aceeași natură și în aceeași fază (lichidă sau gazoasă) sau de natură sau cu faze diferite, inclusiv cu suspensii solide (materiale pulverulente) în fluidul de joasă presiune.

Funcționarea ejectoarelor se studiază pe modelul ejectorului teoretic și apoi pe ejectorul real.

4.4.2. Construcția unui ejector

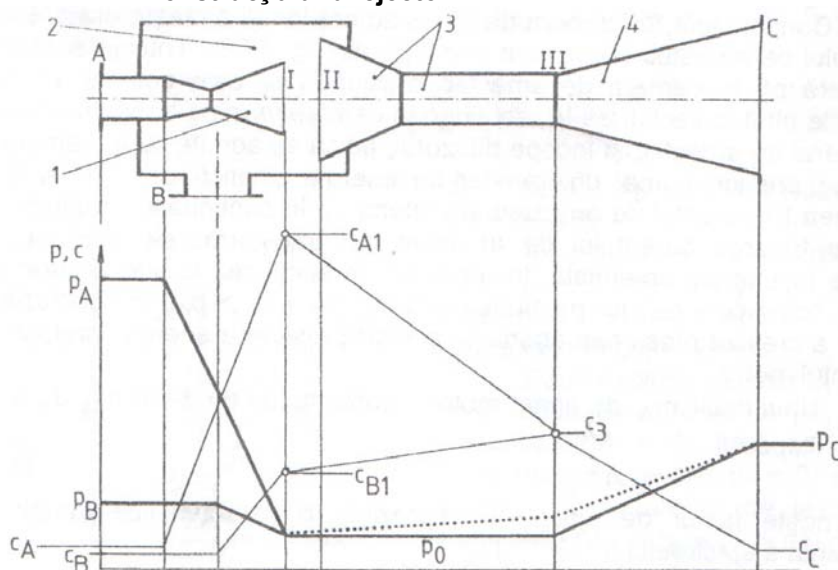


Fig. 4.23. Schema constructivă a unui ejector și variația presiunii și vitezei în ejector: 1 - ajutoraj; 2 - cameră de admisie; 3 - cameră de amestec; 4 - difuzor

În construcția unui ejector (fig. 4.23) se disting următoarele părți principale: ajutorajul 1 pentru agentul de presiune ridicată (numit și agent

motor), camera de admisie 2, în care intră agentul motor destins în ajutorul 1 și în care este aspirat agentul ejectat (cel cu presiune coborâtă), camera de amestec 3 și difuzorul 4. Camera 2 îndeplinește și rol de ajutor pentru agentul ejectat, ca urmare a secțiunii de trecere variabilă pe care o oferă acestuia. Uneori (cu deosebire pentru lichide) ajutorul 1 se construiește multiplu, prin înserierea câtorva ajutoare convergente. Camera de amestec este compusă din două tronsoane, la intrare - tronconic și în continuare - cilindric.

4.4.3. Funcționarea ejectorului

Pentru studiul funcționării ejectorului se admite că ambii agenți au aceeași natură și sînt în faza de gaz.

Agentul motor intră în ejector prin secțiunea A, fiind caracterizat de presiunea p_A (ridicată) și de viteza c_A (mică). În ajutorul 1 agentul motor se destinde pînă la presiunea p_0 (minimă din ejector) și la viteza c_{A1} (mare, agentul avînd o energie cinetică ridicată). Agentul ejectat intră în camera de aspirație 2 prin secțiunea B, unde există presiunea $p_B > p_0$. Viteza agentului prin secțiunea B este c_B . În camera de aspirație agentul B se destinde (în ajutorul inelar) pînă la presiunea p_0 , pe care o realizează cînd ajunge în secțiunea I, unde viteza sa este c_{B1} (de asemenea mică, energia cinetică a agentului ejectat fiind mică). Cei doi agenți intră în camera de amestec 3 prin secțiunea II, procesul de amestec începînd în spațiul dintre secțiunile I și II. În camera de amestec 3 gazul motor cedează o parte din energia sa cinetică gazului ejectat, deci viteza gazului motor scade, iar viteza gazului ejectat crește. Concomitent, în camera de amestec are loc și o creștere a presiunii curentului de amestec (după linia punctată din fig. 4.23). Totuși, teoretic se consideră că în camera de amestec presiunea p_0 este aceeași în toate secțiunile pînă la secțiunea III, secțiune în care se termină tronsonul cilindric al camerei de amestec și începe difuzorul, adică se admite că în camera de amestec are loc numai un transfer de energie cinetică de la A la B. În secțiunea III curentul de amestec are viteza c_3 . În continuare, în difuzorul 4 are loc frînarea curentului de amestec, cu transformarea energiei sale cinetice în energie potențială de presiune. În secțiunea C viteza curentului este c_C ($c_C < c_3 < c_{A1}$) iar presiunea este p_C ($p_A > p_C > p_B$). În concluzie, în ejector a crescut presiunea agentului ejectat pe seama energiei preluate de la agentul motor.

Unui debit \dot{m}_A de agent motor îi corespunde un debit \dot{m}_B de agent ejectat. Raportul

$$u = \dot{m}_B / \dot{m}_A \quad (4.48)$$

se numește factor de eiecție și reprezintă o caracteristică funcțională importantă a ejectorului.

4.4.4. Ejectorul teoretic

Procesele care se desfășoară într-un ejector teoretic sînt considerate reversibile (fără frecări).

Agentul motor se destinde adiabatic reversibil în procesul A-1

(fig. 4.24), între presiunile p_A și p_0 , prelucrându-se diferența de entalpie ($i_A - i_1$). La ieșirea din ajutor agentul are viteza:

$$c_{A1} = \sqrt{2(i_A - i_1)} = \sqrt{\frac{2k}{k-1} p_A v_A \left[1 - (p_0/p_A)^{(k-1)/k} \right]}, \quad (4.49)$$

determinată cu (2.193) în care s-a neglijat viteza c_A de intrare în ajutor.

Agentul ejectat se destinde adiabatic în procesul B-2 (fig. 4.24), între presiunile p_B și p_0 , prelucrându-se diferența de entalpie ($i_B - i_0$). Agentul ejectat își mărește viteza de la $c_B \approx 0$ la:

$$c_{B1} = \sqrt{2(i_B - i_2)} = \sqrt{\frac{2k}{k-1} p_B v_B \left[1 - (p_0/p_B)^{(k-1)/k} \right]}. \quad (4.50)$$

Prin amestecarea izobară a celor două curenți de gaz, la ieșirea din camera de amestec se stabilește viteza c_3 . Presupunând că această viteză este repartizată uniform în secțiune, ea se determină din ecuația conservării impulsului aplicată camerei de amestec:

$$\dot{m}_A c_{A1} + \dot{m}_B c_{B1} = (\dot{m}_A + \dot{m}_B) c_3, \quad (4.51)$$

viteza obținându-se sub forma:

$$c_3 = \frac{\dot{m}_A c_{A1} + \dot{m}_B c_{B1}}{\dot{m}_A + \dot{m}_B} = \frac{c_{A1} + u c_{B1}}{1 + u}. \quad (4.52)$$

În difuzor curentul de amestec este frânat în procesul adiabatic reversibil 3-C, micșorându-și viteza pînă la valoarea $c_C \approx 0$ și măriru-și presiunea pînă la valoarea p_C . Procesul fiind reversibil, viteza c_3 poate fi privită ca rezultat al destinderii C-3. Pe baza relațiilor (2.42) și (2.193) se obțin relațiile:

$$\frac{c_3^2}{2} = (i_C - i_3) = \frac{k}{k-1} p_C v_C \left[1 - \left(\frac{p_0}{p_C} \right)^{(k-1)/k} \right], \quad (4.53)$$

din care se poate determina presiunea p_C .

În diagrama i - s coordonatele punctului C sînt i_C și s_C . Ele se determină cu raționamente simple prezentate în continuare.

Dacă evoluția gazelor în ejector este adiabatic-reversibilă ($dq = 0$), orizontală ($dh = 0$), fără schimb de lucru mecanic tehnic ($dl_t = 0$) și dacă vitezele de intrare și de ieșire sînt neglijabile ($c_A \approx c_B \approx c_C \approx 0$), ecuația conservării energiei (de bilanț energetic) pentru ejector este:

$$\dot{m}_A i_A + \dot{m}_B i_B = (\dot{m}_A + \dot{m}_B) i_C. \quad (4.54)$$

Din (4.54) se determină entalpia curentului de gaz la ieșirea din difuzor:

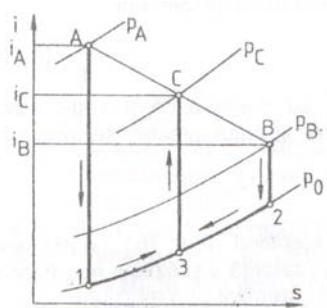


Fig. 4.24. Procesele teoretice din ejector

$$i_C = \frac{\dot{m}_A i_A + \dot{m}_B i_B}{\dot{m}_A + \dot{m}_B} = \frac{i_A + u i_B}{1 + u} \quad (4.55)$$

În ejectorul teoretic, deoarece procesele sînt reversibile, variația de entropie a sistemului este nulă:

$$\Delta S = S_3 - (S_A + S_B) = (\dot{m}_A + \dot{m}_B) s_C - \dot{m}_A s_A + \dot{m}_B s_B = 0, \quad (4.56)$$

relație din care se obține entropia masică s_C a amestecului

$$s_C = \frac{\dot{m}_A s_A + \dot{m}_B s_B}{\dot{m}_A + \dot{m}_B} = \frac{s_A + u s_B}{1 + u} \quad (4.57)$$

Coordonatele punctului C date de (4.55) și (4.57) verifică ecuația dreptei care trece prin punctele A și B. Deci este simplu să se găsească coordonatele punctului C (pe diagrama i-s) la intersecția dreptei AB cu izobara p_C .

Factorul de eiecție u se poate exprima din (4.55) ca un raport de diferențe de entalpii, ceea ce pe diagrama i-s se concretizează printr-un raport de segmente. Considerînd și asemănarea triunghiurilor dreptunghice cu ipotenuzele AC și CB, se obține:

$$u = \frac{i_A - i_C}{i_C - i_B} = \frac{AC}{CB}, \quad (4.58)$$

relație care permite determinarea experimentală a factorului de eiecție, fără măsurarea debitelor.

Factorul de eiecție se poate determina și în funcție de viteze, din relația (4.52):

$$u = \frac{c_{A1} - c_3}{c_3 - c_{B1}} \quad (4.59)$$

Există un caz particular de funcționare a ejectorului teoretic, atunci cînd $p_B = p_0$, și deci $c_{B1} = 0$. În acest caz factorul de eiecție este

$$u_0 = \frac{c_{A1} - c_3}{c_3} \quad (4.60)$$

Comparînd relațiile (4.59) la (4.60) se observă că $u > u_0$, adică ejectorul funcționează mai bine atunci cînd agentul ejectat se destinde înainte de intrarea în camera de amestec.

4.4.5. Ejectorul real

Procesele ce se desfășoară în ejectorul real (fig. 4.25) sînt ireversibile, atît din cauza curgerii cu frecări (datorită viscozității agenților și rugozității pereților), cît din cauza amestecării curenților prin difuziune.

Procesele reale de destindere sînt A-1_r și B-2_r, vitezele agenților motor și ejectat la ieșirea din ajutaje fiind mai mici decît cele ce s-ar obține în cazul destinderii teoretice.

Amestecarea (izobară ireversibilă) prin difuziunea curenților de gaz este însoțită de frecări și, ca urmare, entropia masică la ieșire din camera de

amestec este mai mare decât cea teoretică, $s_{3r} > s_3$, deci starea 3_r se află, pe diagrama i-s, în dreapta stării teoretice 3.

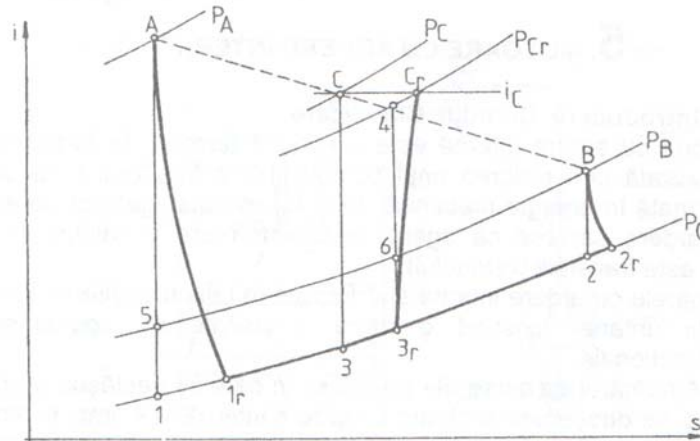


Fig. 4.25. Procesele reale din ejector

Comprimarea dinamică reală (cu frecări) din difuzor se desfășoară după curba 3_r-C_r. În difuzor energia totală a agentului se conservă, indiferent de felul procesului, teoretic sau real. Ca urmare, starea C_r se găsește la intersecția izentalpei i_c cu izobara reală p_{Cr}. Din cauza frecărilor, presiunea finală reală este mai mică decât presiunea teoretică (p_{Cr} < p_c), iar entropia masică finală este mai mare decât cea rezultată la o comprimare teoretică (s_{Cr} < s₄).

Bibliografie

- 4.1. Dănescu Al., Ștefănescu D., Marinescu M., (coordonatori), Termotehnică și mașini termice. Ed. didactică și pedagogică, București, 1985.
- 4.2. Giurcă V., Compressoare. Vol I și II, I. P. Iași, 1993 și 1986.
- 4.3. Homutescu V. M., Homutescu C. A., Mașini și instalații termice. Lucrări de laborator. Universitatea Tehnică Iași, 1996.
- 4.4. Stamatescu C., Tașcă D., Grigoriu Marieta, Compressoare volumice. Ed. Tehnică, București, 1965.
- 4.5. Vlădea I., Instalații și utilaje termice. Ed. Tehnică. București, 1966.